

УДК 539.163

## ВЛИЯНИЕ ДЕФОРМАЦИИ НА $\gamma$ -РАСПАД КОМПОНЕНТОВ ТОНКОЙ СТРУКТУРЫ АНАЛОГОВОГО $d_{5/2}$ -РЕЗОНАНСА В РЕАКЦИИ $^{22}\text{Ne}(\text{p}\gamma)^{23}\text{Na}$

А.Н. Водин<sup>1</sup>, В.Ю. Корда<sup>2</sup>, Л.П. Корда<sup>1</sup>, О.А. Лепешкина<sup>1</sup>,  
 С.А. Троценко<sup>1</sup>, И.В. Ушаков<sup>1</sup>

<sup>1</sup>ННЦ “Харьковский физико-технический институт”, 61108, Харьков, ул. Академическая, 1

<sup>2</sup>НТЦ электрофизической обработки НАН Украины, 61002, Харьков, ул. Чернышевского, 28

Поступила в редакцию 20 февраля 2004 г.

Проведено экспериментальное исследование  $\gamma$ -распада аналогового  $d_{5/2}$ -резонанса в  $^{23}\text{Na}$  (материнский уровень ядра  $^{23}\text{Ne}$  с  $E^* = 2,517$  МэВ), наблюдающегося в виде тонкой структуры в реакции  $^{22}\text{Ne}(\text{p}\gamma)^{23}\text{Na}$  при  $E_{\text{p}} = 1623, 1721, 1803$  и  $1835$  кэВ. Построены схемы  $\gamma$ -распада, установлены параметры смешивания по мультипольностям для первичных  $\gamma$ -переходов и определены парциальные  $\gamma$ -ширины распада  $\Gamma_{\gamma}$  указанных резонансов. Обнаружено замедление скорости  $M1$ -перехода между аналоговым и антианалоговым состояниями по сравнению с одночастичными оценками в рамках модели оболочек с поверхностными  $\delta$ -силами. Наблюданное расхождение обусловлено влиянием деформации ядра  $^{23}\text{Na}$ . Показано, что в процессе  $\gamma$ -распада аналогового  $d_{5/2}$ -резонанса существенную роль играют коллективные эффекты, связанные с возбуждением состояний типа поляризации остова и гигантского  $M1$ -резонанса.

**КЛЮЧЕВЫЕ СЛОВА:** реакция  $^{22}\text{Ne}(\text{p}\gamma)^{23}\text{Na}$ , аналоговый резонанс,  $\gamma$ -распад, вероятность  $M1$ -перехода, состояние типа поляризации остова, гигантский  $M1$ -резонанс.

Результаты многих исследований показывают, что большинство аналоговых резонансов (AP) оказываются расщепленными на несколько компонентов, которые отчетливо проявляются в экспериментах по ( $\text{p},\text{p}$ )-, ( $\text{p}\gamma$ )- и ( $^3\text{He},\text{d}$ )-реакциям [1, 2] с высоким разрешением. Тонкая структура появляется в результате смешивания собственно аналогового состояния (AC) и уровней компаунд-ядра. Это приводит к тому, что изоспиновые части волновых функций компонентов тонкой структуры AC будут включать как  $T_> = T_0 + 1/2$ , так и  $T_< = T_0 - 1/2$  – компоненты ( $T_0$  – изоспин остова ядра), т.е. не будут уже являться чистыми по изоспину состояниями.

Настоящая работа является продолжением наших исследований тонкой структуры AP с  $J^\pi = 5/2^+$  в легких ядрах [3]. Здесь представлены экспериментальные данные о  $\gamma$ -распаде аналогового  $d_{5/2}$ -резонанса в  $^{23}\text{Na}$  (материнский уровень с  $E^* = 2,517$  МэВ ядра  $^{23}\text{Ne}$ ). Компоненты данного AP наблюдались как изолированные резонансы в реакции  $^{22}\text{Ne}(\text{p}\gamma)^{23}\text{Na}$  при энергии протонов  $E_{\text{p}} = 1623, 1721, 1803$  и  $1835$  кэВ. В связи с этим была изучена функция возбуждения реакции в области  $E_{\text{p}} = 1560$ – $1850$  кэВ, построены схемы  $\gamma$ -распада указанных резонансов и измерены угловые распределения  $\gamma$ -лучей, возникающих при их распаде.

В итоге данных исследований было получено экспериментальное распределение парциальных радиационных ширин  $\Gamma_{\gamma}$  распада фрагментированного аналогового  $d_{5/2}$ -резонанса, которое затем сравнивалось нами с выводами многочастичной модели оболочек с остаточным взаимодействием типа поверхностных  $\delta$ -сил [4].

### МЕТОДИКА ЭКСПЕРИМЕНТА

Исследования проведены на пучке протонов электростатического ускорителя ЭСУ-4 ХФТИ с максимальной энергией 4 МэВ и энергетическим разбросом пучка 400 эВ. Ток протонов на мишени составлял 10–15 мкА. Использована изотопная мишень  $^{22}\text{Ne}$ , приготовленная методом “вбивания” ионов  $^{22}\text{Ne}^+$  в tantalовую подложку непосредственно в электромагнитном сепараторе [5]. Толщина мишени составляла около 4 кэВ при энергии протонов  $E_{\text{p}} = 2,0$  МэВ.

Спектры  $\gamma$ -распада были зарегистрированы Ge(Li)-детектором объемом 63 см<sup>3</sup> и энергетическим разрешением 3,0 кэВ для  $\gamma$ -линий  $^{60}\text{Co}$ . Абсолютная калибровка спектрометра по эффективности проведена с помощью стандартного набора монохроматических источников ОСГИ-II и по выходам  $\gamma$ -линий из реакции  $^{27}\text{Al}(\text{p}\gamma)^{28}\text{Si}$  при  $E_{\text{p}} = 991,86(3)$  кэВ. Для ослабления низкоэнергетического фона  $\gamma$ -излучения из подложки была применена комбинированная защита Ge(Li)-детектора, выполненная из свинца и меди.

Интенсивности  $\gamma$ -лучей, возникающих при распаде резонансных состояний ядра  $^{23}\text{Na}$ , измерены под углами  $\theta_{\text{lab}} = 0, 30, 45, 60$  и  $90^\circ$  относительно направления пучка налетающих протонов. В качестве монитора  $\gamma$ -излучения использован интегратор тока и, дополнительно, спектрометр на базе кристалла NaJ(Tl) с размерами  $\varnothing 150 \times 100$  мм<sup>2</sup>. Этот же детектор был использован для измерения функции возбуждения в реакции  $^{22}\text{Ne}(\text{p}\gamma)^{23}\text{Na}$ . Опыты проведены на спектрометрическом оборудовании, выполненном в стандарте КАМАК и работающим в “линию” с ЭВМ типа IBM PC/AT 486.

## РЕЗУЛЬТАТЫ ИЗМЕРЕНИЙ

Функция возбуждения реакции  $^{22}\text{Ne}(\text{p}\gamma)^{23}\text{Na}$  измерена нами в области энергии протонов  $E_p = 1560\text{-}1850 \text{ кэВ}$ . Опыты проведены с различными порогами дискриминации для энергии  $\gamma$ -квантов ( $E_\gamma > 2,61$  и  $E_\gamma > 6,13 \text{ МэВ}$ ), регистрируемых кристаллом NaJ(Tl) под углом  $\Theta_{\text{лаб.}} = 55^\circ$  относительно направления пучка протонов. Измерения проводились с шагом  $\Delta E_p = 1,0 \text{ кэВ}$ . На рис. 1 представлены результаты измерения относительного выхода  $\gamma$ -лучей с  $E_\gamma > 6,13 \text{ МэВ}$  в зависимости от энергии налетающих протонов.

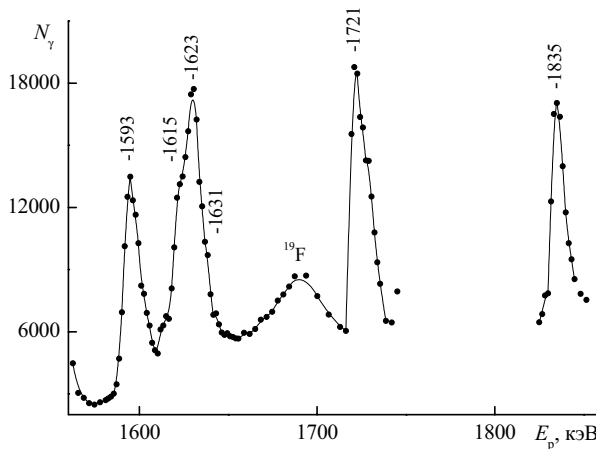


Рис.1. Функция возбуждения реакции  $^{22}\text{Ne}(\text{p}\gamma)^{23}\text{Na}$  в области энергии протонов  $E_p = 1560\text{-}1850 \text{ кэВ}$ .

Таблица 1. Радиационные ширины резонансов в реакции  $^{22}\text{Ne}(\text{p}\gamma)^{23}\text{Na}$

| $E_p^{1)}$ , кэВ | $E^*$ , МэВ | $J^\pi$ | $S$ , эВ | $\Gamma_p^{2)}$ , эВ | $\Gamma_\gamma$ эВ |
|------------------|-------------|---------|----------|----------------------|--------------------|
| 1593             | 10,318      | $3/2^-$ | 10(3)    | 2000                 | 2,5(3)             |
| 1615             | 10,338      | $1/2^-$ | 2,1(5)   | 190                  | 1,1(3)             |
| 1623             | 10,346      | $5/2^+$ | 9(2)     | 8                    | 2,0(4)             |
| 1631             | 10,353      | $3/2^+$ | 6,0(15)  | 210                  | 1,5(4)             |
| 1721             | 10,440      | $5/2^+$ | 13(3)    | 25                   | 2,4(5)             |
| 1803             | 10,519      | $5/2^+$ | 4,4(11)  | 100                  | 0,7(2)             |
| 1835             | 10,549      | $5/2^+$ | 11(3)    | 540                  | 1,8(4)             |

Примечание: <sup>1)</sup>-значения  $E_p$  указаны с ошибкой  $\pm 0,8 \text{ кэВ}$ ;  
<sup>2)</sup>-значения  $\Gamma_p$  взяты из [6]

В исследованной области энергии установлено положение 7 резонансов, идентифицированных как возбужденные состояния ядра  $^{23}\text{Na}$ . При этом значение  $Q$  реакции принималось равным  $8794,26(17) \text{ кэВ}$ , согласно работе [6]. Полученные нами результаты хорошо согласуются с данными, приведенными в обзоре [7]. Для большинства из указанных на рис. 1 резонансных пиков экспериментальные ширины составляют величину  $\Gamma_{\text{эксп.}} \approx 5 \text{ кэВ}$ , что обусловлено конечной толщиной мишени и энергетическим разбросом в пучке протонов.

Силы резонансов  $S = (2J + 1)\Gamma_p\Gamma_\gamma/\Gamma$  ( $\Gamma_p$ ,  $\Gamma_\gamma$  и  $\Gamma$  — протонная, радиационная и полная ширины распада резонанса соответственно), определены методом сравнения с силой калибровочного резонанса при  $E_p = 1278 \text{ кэВ}$ , которая равна  $21(2) \text{ эВ}$ . Полученные таким образом значения  $S$  для исследуемых резонансов представлены в табл. 1, в которой приведены также соответствующие значения  $\Gamma_\gamma$ , вычисленные с учетом данных о протонных ширинах  $\Gamma_p$  из [6].

Спектры  $\gamma$ -распада резонансов при  $E_p = 1623, 1721, 1803$  и  $1835 \text{ кэВ}$  измерены GeLi-детектором под углом  $\theta = 55^\circ$  относительно направления пучка налетающих протонов. Схемы распада резонансов построены на основании баланса энергий и интенсивностей для наблюдаемых  $\gamma$ -переходов с учетом всех известных данных об уровнях  $^{23}\text{Na}$ . Предлагаемые схемы распада исследуемых резонансных уровней приведены в виде значений коэффициентов ветвления  $b$  в табл. 2.

Квантовые характеристики резонансов при  $E_p = 1623, 1721, 1803$  и  $1835 \text{ кэВ}$  достаточно надежно установлены в экспериментах по упругому рассеянию протонов —  $J^\pi = 5/2^+$  [6]. Однако для расчета приведенных вероятностей  $\gamma$ -переходов необходимы данные о параметрах смешивания по мультипольностям  $\delta$ . В связи с этим были измерены угловые распределения  $\gamma$ -лучей, возникающих при распаде исследуемых резонансов, под углами  $\theta = 0, 30, 45, 60$  и  $90^\circ$  относительно пучка протонов. Функция угловой корреляции  $W(\theta)$  была найдена в виде разложения по четным полиномам Лежандра:

$$W(\theta) = 1 + a_2 P_2(\cos\theta) + a_4 P_4(\cos\theta), \quad (1)$$

где коэффициенты  $a_2$  и  $a_4$  зависят от угловых моментов начального и конечного состояний и параметра  $\delta$ . Найденные по методу наименьших квадратов коэффициенты  $a_2$  и  $a_4$  сопоставлялись с их теоретическими значениями для различных гипотез о спине  $J$  резонансного уровня и соответствующем ему значением параметра  $\delta$  с помощью критерия  $\chi^2$ . Комбинация  $J$  и  $\delta$  отбрасывалась, если полученное значение  $\chi^2 \equiv \chi^2_{\text{min}}$  превышало возможный 0,1%-предел. Определенные таким образом коэффициенты  $a_2$  и  $a_4$  в функции углового распределения  $\gamma$ -лучей и соответствующие им значения  $J$  и  $\delta$  приведены в табл. 3.

Таблица 2. Парциальные ширины распада резонансных состояний с  $J^P = 5/2^+$  и вероятности  $M_1$ -переходов в  $^{23}\text{Na}$

Таблица 3. Коэффициенты  $a_2$  и  $a_4$  в функции угловой корреляции и параметры  $\delta$ 

| $E_i^* \rightarrow E_f^*$ , МэВ | $J_i^\pi \rightarrow J_f^\pi$ | $a_2(\Delta a_2)$ | $a_4(\Delta a_4)$ | $\delta(\Delta\delta)$ |
|---------------------------------|-------------------------------|-------------------|-------------------|------------------------|
| 10,440 → 0                      | $5/2^+ \rightarrow 3/2^+$     | 0,06(10)          | 0,06(11)          | -0,24(8)               |
| → 0,440                         | → $5/2^+$                     | 0,11(9)           | 0,00(8)           | 0,22(10)               |
| → 2,076                         | → $7/2^+$                     | -0,02(12)         | -0,06(13)         | 0,03(14)               |
| → 2,982                         | → $3/2^+$                     | -0,38(7)          | 0,02(7)           | 0,35(8)                |
| → 3,915                         | → $5/2^+$                     | 0,49(13)          | -0,03(11)         | -0,53(99)              |
| 10,519 → 0                      | $5/2^+ \rightarrow 3/2^+$     | -0,65(5)          | 0,01(4)           | 0,11(3)                |
| → 0,440                         | → $5/2^+$                     | 0,01(3)           | 0,06(7)           | 0,18(3)                |
| → 2,076                         | → $7/2^+$                     | -0,70(4)          | 0,09(24)          | -0,40(3) или 2,9(3)    |
| → 2,391                         | → $1/2^+$                     | 0,23(10)          | -0,49(14)         | 0,08(6)                |
| → 2,982                         | → $3/2^+$                     | -0,41(7)          | 0,06(7)           | -0,01(3)               |
| → 5,766                         | → $3/2^+$                     | 0,05(3)           | 0,06(7)           | -0,15(3)               |
| → 7,891                         | → $5/2^+$                     | 0,46(8)           | 0,09(24)          | 0,01(3)                |
| 10,549 → 0                      | $5/2^+ \rightarrow 3/2^+$     | 0,03(8)           | 0,06(9)           | -0,19(8)               |
| → 0,440                         | → $5/2^+$                     | -0,80(16)         | 0,03(14)          | 2,0(40)                |
| → 2,076                         | → $7/2^+$                     | 0,06(26)          | -0,04(24)         | -0,04(20)              |
| → 2,391                         | → $1/2^+$                     | -0,59(13)         | 0,02(11)          | 0,7(2)                 |
| → 2,982                         | → $3/2^+$                     | -0,19(9)          | -0,04(9)          | 0,05(7)                |
| → 3,915                         | → $5/2^+$                     | -0,16(7)          | 0,00(9)           | 0,80(18)               |
| → 4,430                         | → $1/2^+$                     | -0,10(8)          | 0,13(9)           | 0,18(2)                |

В результаты измерений внесены поправки, учитывающие конечный телесный угол детектора. Указанные ошибки являются стандартными отклонениями. Для определения четности состояний использованы рекомендованные верхние пределы для интенсивностей  $\gamma$ -переходов [7]. Полученные данные по угловому распределению  $\gamma$ -лучей позволяют однозначно установить спины и четности исследуемых резонансов:  $J^\pi = 5/2^+$ . В итоге проведенных исследований были получены экспериментальные значения парциальных радиационных ширин  $\Gamma_{\gamma i}$  распада компонентов тонкой структуры аналогового  $d_{5/2}$ -резонанса в  $^{23}\text{Na}$ . Значения  $\Gamma_{\gamma i}$  и соответствующие им величины приведенных вероятностей  $M1$ -переходов представлены в табл. 2.

### ОБСУЖДЕНИЕ РЕЗУЛЬТАТОВ

Анализ полученных экспериментальных данных показал, что схемы  $\gamma$ -распада резонансов при  $E_p = 1623$ , 1721, 1803 и 1835 кэВ практически совпадают. Это дает основание заключить, что данные резонансы являются фрагментами тонкой структуры аналогового  $d_{5/2}$ -резонанса. В спектре  $\gamma$ -распада АС наблюдается интенсивный  $M1$ -переход на уровень 3,914 МэВ ( $J^\pi = 5/2^+$ ), который можно рассматривать как антианалоговое состояние (AAC). Это вывод подтверждается тем, что энергетическое положение данного уровня практически совпадает с энергией AAC, оцененной по формуле:

$$E_{\text{AC}} - E_{\text{AAC}} = \frac{V_1}{A} (T_0 + 1/2), \quad (2)$$

где  $V_1 \approx 100$  МэВ. Однако  $M1$ -переход  $\text{AC} \rightarrow \text{AAC}$  заторможен по сравнению с одночастичной оценкой [4] более, чем в 3 раза. Наблюданное расхождение с расчетным значением, по всей видимости, связано с влиянием деформации ядра  $^{23}\text{Na}$ . В пользу такого предположения говорит тот факт, что при  $\gamma$ -распаде АС в основном заселяются низколежащие уровни  $^{23}\text{Na}$ , среди которых можно выделить две вращательных полосы с  $K^\pi = 3/2^+$  и  $K^\pi = 1/2^+$ , основанных на седьмой [202 3/2] и девятой [211 1/2] орбитах схемы Нильссона [8] соответственно (см. рис. 3). Наиболее интенсивно заселяются состояния с  $J^\pi = 3/2^+$ ,  $5/2^+$  и  $7/2^+$ , центр тяжести которых лежит при  $E^* \approx 4,93$  МэВ. Это наглядно иллюстрирует рис. 4, где приведено распределение экспериментальных величин  $B(M1)$  для переходов с АС на низколежащие уровни ядра  $^{23}\text{Na}$ .

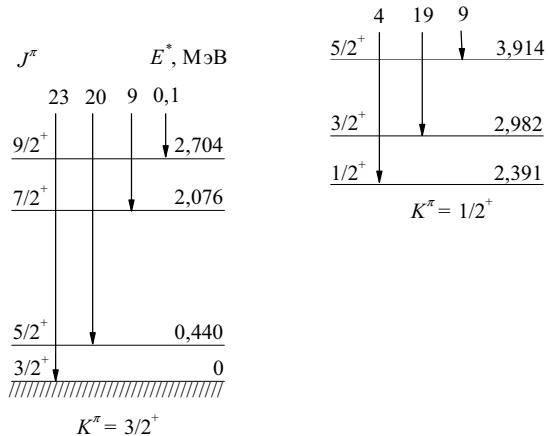


Рис. 3. Вращательные полосы в спектре ядра  $^{23}\text{Na}$ . Цифрами над стрелками указаны интенсивности  $I_\gamma$  (%)  $\gamma$ -переходов.

Максимум в распределении значений  $B(M1)$  обусловлен заселением состояния типа поляризации остова (СПО), которое фрагментировано по спектру ядра  $^{23}\text{Na}$  и лежит в районе энергии возбуждения, ожидаемой из микроскопических расчетов [9]:

$$E_{AC} - E_{CNO} = \frac{V_1}{A}(T_0 + 1/2) + P_n , \quad (3)$$

где  $P_n$  - парная энергия нейтрона. Действительно АС имеет конфигурацию  $\left|(d_{5/2}^2)_0^n d_{5/2}\right\rangle_{5/2,3/2}$ , т.е. может рассматриваться как один  $1d_{5/2}$  нуклон, связанный с двумя  $d_{5/2}$  нейтронами, спаренными в  $(J_0 T_0) = (01)$  сверх инертного остова  $^{20}\text{Ne}$  (ядро  $^{20}\text{Ne}$  можно рассматривать как дважды магический остов  $^{16}\text{O} + \alpha$ -клuster). Тогда переход остова из  $(d_{5/2}^2)_0^n$  на  $(d_{5/2}^2)_1^n$  возможен, и в этом случае вероятность  $M1$ -перехода велика согласно [4], т.к. переход включает  $d_{5/2}$ -частицу. Заметим, что происходит  $M1$ -переход остов-остов без изменения состояния валентной  $d_{5/2}$ -частицы. В таком случае должна наблюдаться статическая корреляция между упругими и данными усиленными  $\gamma$ -ширинами распада АР (т.е. АС является общим входным состоянием для этих каналов). Стандартной мерой корреляции является коэффициент линейной корреляции:

$$r(x,y) = \frac{\sum_i (x_i - \bar{x})(y_i - \bar{y})}{\sqrt{\sum_i (x_i - \bar{x})^2} \sqrt{\sum_i (y_i - \bar{y})^2}}. \quad (4)$$

Значения коэффициентов  $r_i$ , рассчитанные по формуле (4) для всех каналов распада АР, приведены в табл. 3.

Таблица 3. Значения коэффициентов линейной корреляции между парциальными ширинами распада фрагментированного аналогового  $d_{5/2}$ -резонанса в  $^{23}\text{Na}$

## ВЫВОДЫ

Как и предполагалось, наблюдается сильная корреляция между шириной  $M1$ -перехода  $AC \rightarrow AAC$  и протонной шириной  $\Gamma_p$ . Однако полностью отсутствуют корреляции между  $\Gamma_p$  и  $\gamma$ -ширинами распада на уровня с  $E^* = 0,440$  и  $5,742$ , которые можно было бы рассматривать как фрагменты AAC. В то же время существуют корреляции между полной  $\Gamma_\gamma$  и парциальными ширинами радиационных переходов на основное состояние и уровни с  $E^* = 0,440, 2,076, 2,982, 3,914$  и  $5,379$  МэВ, которые принадлежат фрагментированному состоянию типа поляризации остова. Кроме того, наблюдаются корреляции между  $\gamma$ -ширинами распада на уровни, являющиеся фрагментами AAC и  $\gamma$ -ширинами переходов на СПО. Этот результат можно объяснить следующим образом:  $T_<$  - компонент АР является относительно простой конфигурацией и он может быть вторым (после АР) входным состоянием. Таким образом, следует заключить, что в процессе  $\gamma$ -распада аналогового  $d_{5/2}$ -резонанса в  $^{23}\text{Na}$  основную роль играет коллективное состояние типа поляризации остова.

Дополнительным доводом в пользу такой интерпретации  $\gamma$ -распада АР является относительно большие интенсивности  $M1$ -переходов на уровня с  $E^* = 2,076 (7/2^+)$ ,  $5,927 (7/2^+)$  и  $6,618 (7/2^+)$  МэВ, которые строго запрещены по  $l$  в модели оболочек, поскольку  $\Delta l = 2$  ( $l$ -запрещенный  $M1$ -переход типа  $1d_{5/2} \rightarrow 1g_{7/2}$ ). Факторы запрета  $F_M = B(M1)^{\text{теор}}/B(M1)^{\text{эксп}}$  [10] для  $M1$ -переходов на указанные уровни соответственно равны 20, 36 и 14. Небольшие значения  $F_M$  указывают на то, что данные  $M1$ -переходы происходят за счет значительной примеси других конфигураций к аналоговому  $d_{5/2}$ -резонансу. Разумно допустить, что одной из таких конфигураций может быть состояние типа поляризации остова, за счет возбуждения которого осуществляется снятие  $l$ -запрета.

Особенностью  $\gamma$ -распада АР является интенсивный переход  $AC \rightarrow 0$  МэВ, приведенная вероятность которого равна  $0,12 (2) \mu_A^2$ . Энергия данного перехода (10,47 МэВ) того же порядка, что и энергия возбуждения  $M1$ -резонанса в легких ядрах [11]. В связи с этим должны наблюдаться интерференционные эффекты между этими двумя резонансными модами возбуждения ядра  $^{23}\text{Na}$ . В таком случае можно утверждать, что в формировании ширины перехода  $AC \rightarrow 0$  МэВ участвует гигантский  $M1$ -резонанс на основном состоянии ядра  $^{23}\text{Na}$ .

## ЗАКЛЮЧЕНИЕ

В заключении следует отметить, что плохое согласие экспериментальной и теоретической величины  $B(M1)$  для перехода  $AC \rightarrow AAC$  указывает на тот факт, что ядро  $^{23}\text{Na}$  остается деформированным и при энергии возбуждения выше энергии связи нуклона. В то же время заметим, что окончательные выводы о механизме замедления данного  $M1$ -перехода могут быть сделаны после установления всех компонентов тонкой структуры рассматриваемого АР.

## СПИСОК ЛИТЕРАТУРЫ

1. Bateman N. and et al. // Phys. Rev. C. -2001. - V. 63. - P. 035803-03580313.
2. Rudolph D. and et al. // Phys. Rev. Letters. - 1996. - V. 76. - P. 376-379.
3. Водин А.Н. и др. // Известия РАН. Сер. физ. - 2004. - Т. 68. - № 2. - С. 196-200.
4. Maripuu S. // Nucl. Phys. A. - 1969. - V. 123. - P. 357-364.
5. Гусева М. И. // ПТЭ. - 1957. - Т. 5. - С. 112-116.
6. Endt P. M. and Van der Leun C. // Nucl. Phys. A. - 1978. - V. 310. - P. 1-780.
7. Endt P. M. // Nucl. Phys. A. - 1990. - V. 521. - P. 1-830.
8. S.G. Nilsson // Kgl. Danske Videnskab. Selkab. Mat.-fys. Medd. - 1955. - V. 26. - No. 16. - P. 1-69.
9. Гапонов Ю. В., Лютостанский Ю. С. // ЭЧАЯ. - 1981. - Т. 12. - Вып. 6. - С. 1324-1363.
10. Водин А., Ушаков И.В. // Известия РАН. Сер. физ. - 2004. - Т. 68. - № 2. - С. 213-217.
11. Качан А.С., Водин А.Н., Мищенко В.М., Слабоспицкий Р.П. // Известия РАН. Сер. физ. -2001. -Т. 65. -№ 5. -С. 682-686.

## INFLUENCE OF DEFORMATION ON THE $\gamma$ -DECAY OF FINE STRUCTURE OF THE ANALOGUE $d_{5/2}$ RESONANCE IN THE $^{22}\text{Ne}(\text{p}\gamma)^{23}\text{Na}$ REACTION

A.N. Vodin<sup>1</sup>, V.Yu. Korda<sup>2</sup>, L.P. Korda<sup>1</sup>, O.A. Lepyoshkina<sup>1</sup>, S.A. Trotsenko<sup>1</sup>, I.V. Ushakov<sup>1</sup>

<sup>1</sup>NSC "Kharkov Institute of Physics and Technology", 1, Akademichna st., Kharkiv, 61108

e-mail: vodin@kipt.kharkov.ua

<sup>2</sup>STC of Electrophysics, National Academy of Sciences of Ukraine, 28, Chernyshevsky st., Kharkiv, 61002

Experimental studies of the  $\gamma$ -decay of four components of fine structure of the analogue  $d_{5/2}$  resonance in  $^{23}\text{Na}$  (a parent level with  $E^* = 2,517$  MeV in  $^{23}\text{Ne}$ ) observed in the  $^{22}\text{Ne}(\text{p}\gamma)^{23}\text{Na}$  reaction were carried out at  $E_p = 1623, 1721, 1803$  and  $1835$  keV. The decay schemes of the given resonances were constructed, mixing ratios were found for primary  $\gamma$ -transitions and their partial  $\gamma$ -widths  $\Gamma_\gamma$  were determined. The rates of analogue-antianalogue  $M1$  transitions are found to be slow in comparison with estimations on the shell model with surface  $\delta$ -forces. It is connected with deformation of  $^{23}\text{Na}$  nucleus. It is shown that collective effects connected with the excitation of core polarization states and the giant  $M1$  resonance take part in the  $\gamma$  decay of the analogue resonance.

**KEY WORDS:**  $^{22}\text{Ne}(\text{p}\gamma)^{23}\text{Na}$  reaction, analogue resonance,  $\gamma$ -decay, probability of  $M1$  transition, core polarization state, giant  $M1$  resonance.